

AMP + AEPD와 AMP + TIPA 수용액을 이용한 이산화탄소의 흡수 및 재생

Absorption and Regeneration of Carbon Dioxide in Aqueous AMP + AEPD and AMP + TIPA Solutions

김미숙 · 최원준 · 서종범 · 조기철 · 김수곤¹⁾ · 오광중*

부산대학교 환경공학과, ¹⁾(주)큐엔솔루션

(2007년 3월 5일 접수, 2007년 8월 21일 채택)

Mi-Sook Kim, Won-Joon Choi, Jong-Beom Seo, Ki-Chul Cho,
Soo-Gon Kim¹⁾ and Kwang-Joong Oh*

Department of Environmental Engineering, Pusan National University

¹⁾Division of Remediation Technology, QEN Solution

(Received 5 March 2007, accepted 21 August 2007)

Abstract

Increasing emission of CO₂ significantly effects the global warming. Chemical absorption is one of separation methods of CO₂ from the industrial flue gases. In this study, the CO₂ removal efficiency as well as the CO₂ absorption amount of aqueous AMP (2-amino-2-methyl-1-propanol) solutions were measured using the continuous absorption and regeneration apparatus. We investigated the effect of aqueous AMP+AEPD(2-amino-2-ethyl-1,3-propanediol) and AMP+TIPA (triisopropanolamine) solutions to enhance absorption characteristics of AMP. As a result of this study, the absorption amount and CO₂ removal efficiency were increased with adding TIPA into 30 wt.% AMP. The absorption amount and CO₂ removal efficiency of aqueous 30 wt.% AMP+5 wt.% TIPA solution were 1.70 kg-CO₂/kg-absorbent and 91.1%, while those of aqueous 30 wt.% AMP solution were 1.58 kg-CO₂/kg-absorbent and 89.3%. In addition, aqueous 30 wt.% AMP+5 wt.% TIPA solution used in the study revealed the high stripping efficiency, which was almost 98%, at the temperature of 110°C. Thus, the temperature of regenerator should be operated at 110°C.

Key words : CO₂, Absorption, Regeneration, AMP (2-amino-2-methyl-1-propanol), AEPD (2-amino-2-ethyl-1,3-propanediol), TIPA (triisopropanolamine)

1. 서 론

*Corresponding author.
Tel : +82-(0)51-510-2417, E-mail : kjoh@pusan.ac.kr

지구온난화 문제가 심각해지면서 온실가스 방출을 억제하고자 1997년 채택된 교토의정서가 2004년 10

월 러시아의 비준으로 2005년 2월 16일 발효되었다. 이에 따라 1차 의무이행 대상국인 일본, 캐나다, 유럽 연합(EU) 등 38개 선진국은 2008년~2012년까지 온실가스 배출량을 1990년 대비 평균 5.2%를 줄여야 하므로 각 국가별로 대책 마련을 추진하고 있다(UNFCCC, 1997).

우리나라의 경우 중국, 인도 등과 함께 1차 의무이행 대상국에서는 제외되었지만, 2004년 국제에너지 기구(IEA)에 따르면 우리나라의 이산화탄소 배출량이 세계 9위로 총배출량의 1.79%를 차지하여 온실가스 의무감축 부담이 현실화될 가능성이 높아지고 있다. 또한, 2020년 CO₂ 배출량 전망치 대비 10%를 줄일 경우 GDP의 0.29%인 3조 9천억 원의 GDP 감소가 예상되므로 이에 대한 적극적인 대책 마련이 필요한 실정이다(조승현 등, 2003).

주요 온실가스로는 CO₂(이산화탄소), CH₄(메탄), N₂O(아산화질소), HFC(수소불화탄소), PFCs(과불화탄소), SF₆(육불화황) 등이 있으며, 지구온난화지수에서 CO₂를 1로 볼 때, CH₄은 21, N₂O는 310, HFC는 1,300, PFCs는 7,000, SF₆은 23,900으로 SF₆의 경우 온실효과를 일으키는 잠재능력이 CO₂보다 23,900배나 크다. 그러나, 온실가스 중 CO₂배출량은 2001년 현재 131,178천 TC로 그 비중은 89%를 차지하고 있으며(CDRS, 2005), 발생량에 따른 CO₂의 온실효과 기여도는 55% 이상을 차지하는 것으로 알려져 있으므로 CO₂가 지구온난화 논의의 주요 대상이 되고 있다.

배기가스로부터 CO₂를 분리·회수하는 방법 중 화학흡수법은 현재 실용화되고 단기간에 연소 배기 가스에 적용시킬 수 있는 기술로 연소 배기가스에서 발생하는 CO₂의 농도와 압력이 비교적 낮기 때문에 유리한 방법으로 제시되고 있다(엄희문, 2003). 지금 까지 화학흡수법에 사용된 흡수제는 알카놀아민류로써 대표적으로 MEA (monoethanolamine), DEA (diethanolamine), MDEA (N-methyldiethanolamine), AMP 등이 있으며, 이러한 단일흡수제는 흡수제의 특성상 부식 및 열화반응, 높은 재생에너지 등과 같은 문제점을 가지고 있어 최근에는 혼합흡수제의 이용 가능성이 높게 평가되고 있다(Sun *et al.*, 2005; Yeh *et al.*, 2005; 최원준 등, 2005, 2004; Rebollo and Trejo, 2004; 심재구 등, 2003; Xiao *et al.*, 2000).

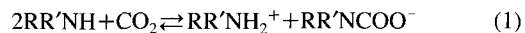
따라서, 본 연구에서는 CO₂ 제거에 주로 사용되고

있는 AMP의 성능 향상을 위해 1차 아민인 AEPD (2-amino-2-ethyl-1,3-propanediol)와 3차아민인 TIPA (triisopropanolamine)를 혼합·첨가제로 선정하여 흡수/재생 연속공정에서의 CO₂ 제거효율 및 흡수량(kg CO₂/kg absorbent)을 비교함으로써 AEPD와 TIPA의 혼합·첨가제로써의 가능성을 살펴보았다. 또한, 실증에서도 연속적인 사용에 적합한 흡수제를 선정하고, 기액비 및 재생온도에 따른 CO₂ 탈거효율을 조사하여 흡수제의 재생에 적합한 운전조건을 제시하고자 하였다.

2. 이 론

일반적으로 아민계 흡수제는 식(1)~(11)의 반응을 통하여 CO₂를 흡수하며, 먼저 1, 2차 아민-흡수제는 수용액으로 CO₂를 흡수할 때 대개의 반응에서 일어나는 주 반응은 아래와 같으며, 여기서 R은 alkyl이고 R'은 1차 아민에서는 H, 2차 아민에 대해서는 alkyl이다(Saha and Bandyopadhyay, 1995).

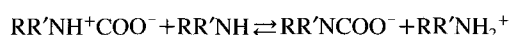
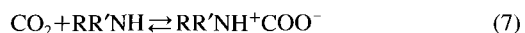
Carbamate formation:



Bicarbonate formation:



그리고, zwitterion 메커니즘이 1차와 2차 아민에 대한 carbamate 형성을 지배한다고 일반적으로 받아들여지고 있으며, 이 경우 식(7)과 같은 중간 매개체 zwitterion (RR'NH⁺COO⁻)을 형성하며, 이 메커니즘에 따라 흡수제 수용액에서 식(8)과 같은 반응이 일어나게 된다(Xiao *et al.*, 2000; Xu *et al.*, 1996).



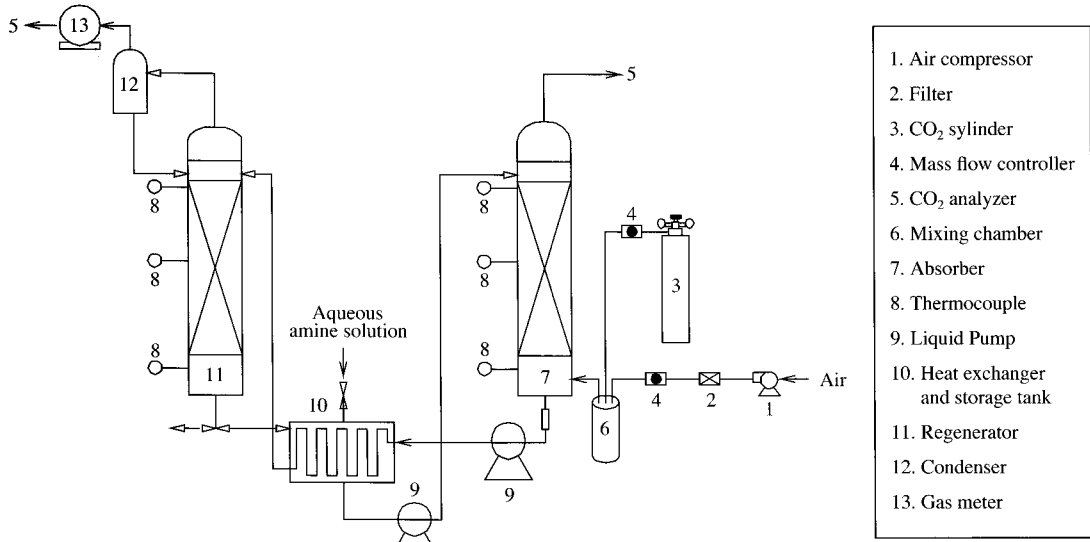
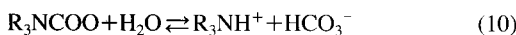


Fig. 1. Schematic diagram of the experimental apparatus.

한편, 입체장애아민(sterically hindered amine)인 AMP의 경우 1차 아민과 같은 반응 메커니즘으로 CO_2 와 반응하며, AEPD 역시 AMP와 마찬가지로 입체장애아민으로 아민기가 1개인 1차 아민이므로 식(7)~(8)에 의하여 반응하여 AMP의 반응성을 증진시킬 수 있다(Park *et al.*, 2002). 또한, TIPA는 $(\text{HOC}_3\text{H}_6)_3\text{N}$ 의 구조를 갖는 3차 아민으로 TIPA와 이산화탄소의 반응 메커니즘은 아직 발표되어 있지 않지만, 3차 아민으로 잘 알려진 MDEA의 이산화탄소 흡수반응 메커니즘과 동일할 것으로 가정할 수 있다(Chauhan *et al.*, 2003). MDEA의 반응 메커니즘을 살펴보면 식(9)과 같이 CO_2 와 반응하여 중간생성물 R_3NCOO 을 생성하며, 이는 식(10)과 같은 가수분해반응을 통해 평형에 도달한다(Yu *et al.*, 1985). 또한, MDEA는 AMP 수용액에서 CO_2 와 반응하여 식(11)에 의해 가역반응을 할 수 있으므로 AMP의 반응성을 증진시킬 수 있다.



3. 실험

본 실험에서 제작된 흡수 및 재생장치를 그림 1에 나타내었으며, 그림에서 보는 바와 같이 실험장치는 흡수탑, 재생탑, 가스분석기 등으로 구성된다. 흡수탑 및 재생탑은 각각 높이(H) 900 mm, 직경(D) 50.8 mm 및 높이(H) 800 mm, 직경(D) 50.8 mm로 제작하였으며, 탑내부에는 액/가스의 접촉을 높이기 위해 층전물(1/4 in, raschig ring)을 넣었고 재질은 모두 스테인리스(SUS 316)를 사용하였다. 그리고 흡수 및 재생탑에는 heating tape을 부착하여 전압조절장치를 이용하여 가열하였으며, 온도지시계를 설치하여 온도를 확인하였다. 한편, 흡수 및 재생탑에서 배출되는 가스는 CO_2 분석기로 분석하였다.

본 실험에서는 Acros Organics(USA)의 99% AMP, Tokyo Kasei(JPN)의 98% AEPD, 그리고, Tokyo Kasei(JPN)의 98% TIPA를 사용하여 대상 흡수액을 조제하였다. 여기서, 첨가 및 혼합에 대한 흡수제 농도는 흡수능, 흡수속도 및 열화를 고려한 선행연구 및 문헌에 의해 선정하였다(최원준, 2004; Mandal *et al.*, 2004). 흡수액이 준비되면 저장조에 주입하고 펌프(AX1-12-PEC-Z, Cheonsei Co. Ltd., KOR)를 이용하

여 흡수탑 및 재생탑으로 연속적으로 순환시키면서 실험온도를 각각 40°C, 110°C로 승온시켜 유지하였고, 수분용축기에 냉각수를 공급하여 흡수액의 손실을 방지하였다.

이와 같은 준비가 완료된 후에 CO₂의 유량은 질량유량조절기(5850E, BROOKS Ins., USA)를 이용하여, 압축기로부터 공급되는 공기는 유량계를 이용하여 유량을 조절한 다음 혼합조를 통해 혼합시켜 공급하였으며, CO₂의 농도를 석탄 화력발전소 배기가스 조성과 유사한 모사가스(12%)로 유지하였다.

흡수/재생 연속공정은 500 mL의 한정된 흡수액과 대상가스를 반응시켰으며, 이때 흡수탑을 통해 배출되는 CO₂는 NDIR(Non-Dispersive Infrared)방식의 분석기기(ZRF(1DNY1), FUJI Electric, JPN, 0~20%)를 이용하여 연속적으로 측정하였으며, 재생탑에서 탈거되는 CO₂는 NDIR방식의 분석기기(GIR5000, HITEC Ins., USA, 0~100%)를 이용하여 농도를 확인하면서 가스미터를 이용하여 측정한 후 배출되는 양을 계산하였다.

4. 결 과

4. 1 AMP에 AEPD/TIPA 첨가에 따른 영향

본 실험에서는 AMP 단일흡수제의 성능 개선을 위해 첨가 대상흡수제인 AEPD와 TIPA를 30 wt.% AMP에 각각 3, 5 wt.% 첨가에 따른 흡수/재생 연속 실험을 수행하였다.

그림 2는 흡수탑 40°C, 재생탑 110°C, 가스 유량 7.5 L/min, 액체 유량 90 mL/min의 조건에서 시간에 따른 CO₂ 제거효율의 변화를 나타낸 것으로 AMP에 각 첨가제의 주입에 따라 CO₂의 제거효율은 증가하였다. 그림에서 보는 바와 같이 전체적으로 흡수/재생 연속공정이 안정화되기 전에는 CO₂ 제거효율이 점차적으로 떨어지다가 안정화되는 15분 이후부터는 재생의 영향으로 89~92%의 효율로 일정하게 유지하였으며, 80~100분 이후로는 주입된 흡수용액은 500 mL로 한정되어 순환되며, CO₂ 흡수 후 재생시 재생되지 않고 흡수용액에 녹아있는 CO₂의 양이 연속적인 흡수/재생으로 축적됨에 따라 흡수되는 CO₂ 양은 점차 적어지게 되며, 따라서 CO₂ 제거효율이 떨어지는 것으로 나타났다.

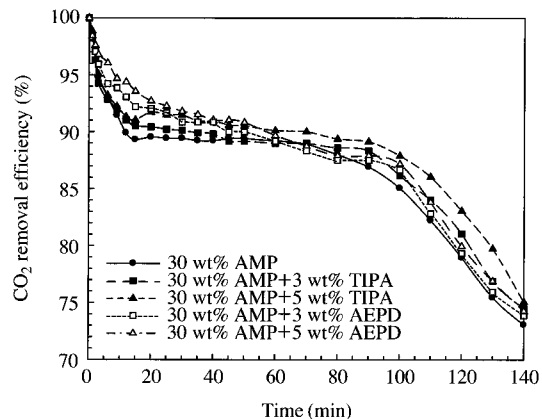


Fig. 2. Effect of operating time on CO₂ removal efficiencies by adding AEPD or TIPA into aqueous AMP solution.

한편, TIPA를 첨가한 경우 50분까지는 AMP 단일 흡수제에 비해 1~2% 미만의 차이로 비슷한 경향을 보이지만 그 이후로는 제거효율의 감소폭이 작으며, 비교적 큰 폭으로 감소하는 지점이 AMP 단일 흡수제의 경우 70분인 반면에 TIPA를 첨가할 경우 90분이 경과되었을 때 나타났다. 이는 TIPA는 3차 아민으로 CO₂와의 반응이 비교적 느리고 반응성이 낮기 때문에 흡수탑에서 반응 초기에는 주 흡수제인 AMP의 반응이 전체반응을 지배하지만 시간이 경과될수록 TIPA의 영향에 따라 제거효율이 증가되는 것으로 판단되며(Daneshvar *et al.*, 2004; Chauhan *et al.*, 2003), 식(10)~(11)에서 TIPA의 가수분해반응과 AMP와의 추가적인 가역반응으로 AMP 단일 흡수제에 비하여 장시간 동안 높은 CO₂ 제거효율을 유지하는 것으로 판단된다.

또한, AEPD의 경우 AMP와 같이 입체장애아민인 1차 아민으로 CO₂와의 반응성이 높아 반응 초기에 AMP 지배반응에 영향을 미치기 때문에 TIPA 첨가시와 비교할 때 반응 초기에는 CO₂ 제거효율이 높으나, 60분 경과 후에는 제거효율의 감소폭이 증가하는 경향을 보이고 있어 흡수탑을 장시간 운전할 경우 CO₂의 안정적 분리에는 다소 미흡한 것으로 판단된다.

그림 3은 AMP 단일 흡수제에 AEPD 및 TIPA 첨가에 따른 성능 향상을 상대적으로 비교하기 위하여 그림 2의 실험결과에서 시간에 따라 높은 CO₂ 제거효율이 2% 내로 일정하게 유지하는 구간의 결과값

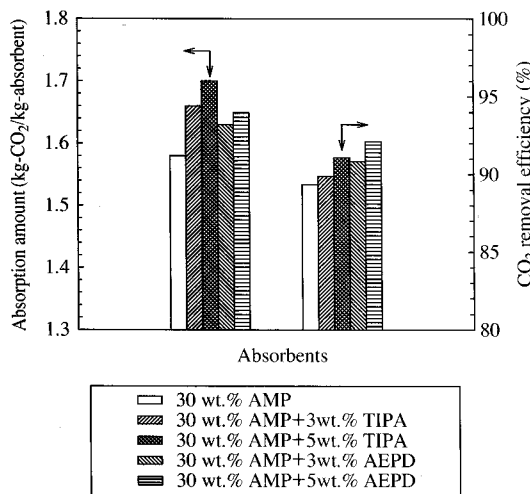


Fig. 3. Adding effects of AEPD or TIPA into aqueous AMP solution on CO₂ absorption amount and CO₂ removal efficiencies.

을 이용하여 CO₂ 흡수량과 CO₂ 제거효율을 산정하여 나타내었다. 그림에서 보는 바와 같이 TIPA와 AEPD 첨가에 따라 AMP 단일흡수제에 비하여 CO₂ 흡수량과 제거효율이 증가함을 알 수 있으며, TIPA 3, 5 wt% 첨가시 흡수량은 1.66, 1.70 kg-CO₂/kg-absorbent, 제거효율은 89.9, 91.1%로 AMP 단일흡수제의 1.58 kg-CO₂/kg-absorbent, 89.3%에 비해서 흡수량은 5.1~7.6%, 제거효율은 0.7~2.0% 증가하였다. 아울러, AEPD 3, 5 wt% 첨가시 흡수량은 1.63, 1.65 kg-CO₂/kg-absorbent, 제거효율은 90.8, 92.1%로 AMP 단일흡수제에 비해서 흡수량은 3.2~4.4%, 제거효율은 1.0~3.1% 증가한 것으로 나타났다.

한편, AEPD는 그림 2에서 전술한 바와 같이 반응성이 높아 반응 초기에 AMP 지배반응에 영향을 미치므로 TIPA에 비하여 CO₂ 제거효율이 높으나 흡수량은 장시간 동안 높은 제거율을 유지하는 TIPA가 높은 것으로 판단되며, 첨가제로써 AEPD와 TIPA의 비교시 CO₂ 흡수량이 높은 TIPA가 연속공정에서의 장시간 운전에 유리할 것으로 판단된다.

4. 2 AMP에 TIPA 혼합에 따른 영향

본 절에서는 4.1절에서 연속공정에서 장시간 운전에 유리할 것으로 판단된 TIPA를 AMP와 혼합하였을 때의 영향을 살펴보기 위하여 AMP/TIPA 혼합비

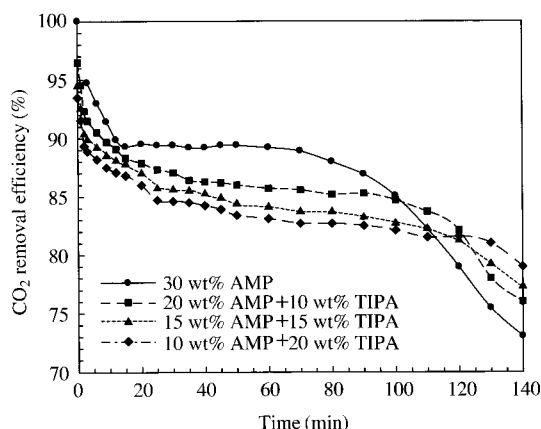


Fig. 4. Effect of operating time on CO₂ removal efficiencies of aqueous blended AMP+TIPA solutions.

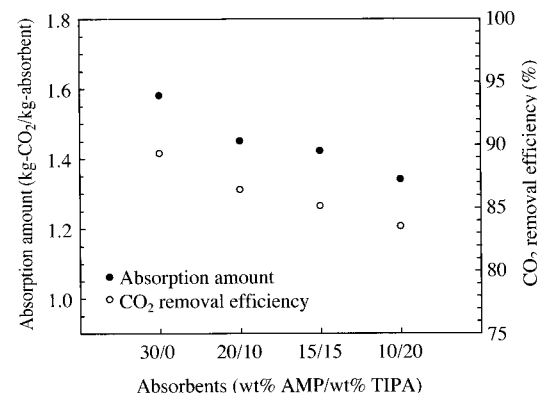


Fig. 5. Effect of CO₂ absorption amount and CO₂ removal efficiencies of aqueous blended AMP+TIPA solutions.

율(wt% AMP/wt% TIPA)을 20/10, 15/15, 10/20으로 하여 흡수탑 40°C, 재생탑 110°C, 가스 유량 7.5 L/min, 액체 유량 90 mL/min의 조건에서 실험을 수행하였다.

그림 4는 흡수제 혼합비율별 시간에 따른 CO₂ 제거효율의 변화를 나타낸 것으로 그림에서 보는 바와 같이 TIPA의 혼합비율이 증가함에 따라 CO₂ 제거효율은 감소하였다. 이러한 결과는 4.1절에서 전술한 바와 같이 TIPA는 AMP보다 상대적으로 CO₂에 대한 반응속도가 매우 느리고, 반응성이 낮으므로 TIPA가 과량 존재할 때는 AMP와 TIPA의 상호반응성에 의

한 CO_2 제거율 증진보다는 TIPA의 반응성에 지배되어 혼합용액의 CO_2 제거율이 낮은 것으로 판단된다.

그림 5는 AMP 단일흡수제에 TIPA 혼합에 따른 영향을 상대적으로 비교하기 위하여 그림 4의 실험 결과에서 시간에 따라 높은 CO_2 제거효율이 2% 내로 일정하게 유지하는 구간의 결과 값을 이용하여 CO_2 흡수량과 CO_2 제거효율을 산정하여 나타내었다. 그림에서 보는 바와 같이 TIPA 혼합에 따라 AMP 단일흡수제에 비하여 CO_2 흡수량과 제거효율이 감소함을 알 수 있으며, 혼합비율(wt.% AMP/wt.% TIPA: 20/10, 15/15, 10/20)에 따라 흡수량은 각각 1.45, 1.42, 1.34 kg- CO_2 /kg-absorbent, 제거효율은 각각 86.4, 85.1, 83.5%로 AMP 단일흡수제의 1.58 kg- CO_2 /kg-absorbent, 89.3%에 비해서 흡수량은 8.2~15.2%, 제거효율은 3.2~6.5% 감소하였다.

이러한 결과로 AMP에 TIPA를 혼합한 흡수제는 단일 흡수제 AMP의 반응성을 향상시키지 못하며, 따라서 AMP에 TIPA를 혼합비의 개념보다는 첨가비의 개념으로서의 흡수제로 사용하는 것이 효과적일 것으로 판단된다.

4. 3 가스유량에 따른 영향

그림 6은 4. 1절에서 AMP의 성능 향상을 위한 첨가제로써 효과적이라고 제시된 TIPA 첨가에 대해서 가스유량에 따른 CO_2 제거효율을 살펴보았다. 본 실험은 흡수제의 연속 사용시 CO_2 제거효율 저하를 살펴보기 위해 재생탑을 가동하지 않는 상태에서 흡수탑(40°C)에서의 제거효율을 비교하였으며, 가스 유량을 5, 7.5, 10, 12.5, 15 L/min (체류시간: 21.9, 14.6, 10.9, 8.8, 7.3 sec)으로 변화시키고, 액량은 90 mL/min 으로 고정하였다.

그림에서 보는 바와 같이 TIPA를 첨가함에 따라 낮은 유량에서 흡수탑에서의 CO_2 제거효율은 증가하였으나, 가스 유량이 12.5 L/min의 비교적 높은 유량에서는 AMP 단일흡수제와 유사한 것으로 나타났다. 이는 TIPA와 CO_2 의 반응이 매우 느린 것에 기인한 것으로 가스 유량이 12.5 L/min 이상에서는 CO_2 와의 반응시간이 매우 짧기 때문으로 판단된다.

그리고, 가스 유량이 5 L/min 이하에서는 모든 흡수제에서 96% 이상의 높은 CO_2 제거효율을 얻을 수 있었으나 가스의 유량이 증가함에 따라 CO_2 제거효율은 급격히 감소함을 알 수 있다. 이는 가스 유량이

클수록 상대적으로 높은 CO_2 부하량에 도달하기 때문에 실 공정에의 적용시 높은 CO_2 제거효율을 얻기 위해서는 가스 유량에 따라 적절한 액/기비 조절이 필요하다. 한편, 본 lab-scale에서는 액량 90 mL/min 일 때 가스 유량이 7.5 L/min 이상에서는 CO_2 제거효율이 크게 감소하기 시작하며, TIPA 첨가에 따른 AMP의 CO_2 제거효율 향상도 매우 낮으므로 가스 유량을 7.5 L/min 이하로 유지하는 것이 적절하다.

4. 4 재생탑 온도에 따른 영향

재생에 따른 영향을 살펴보기 위하여 흡수탑온도

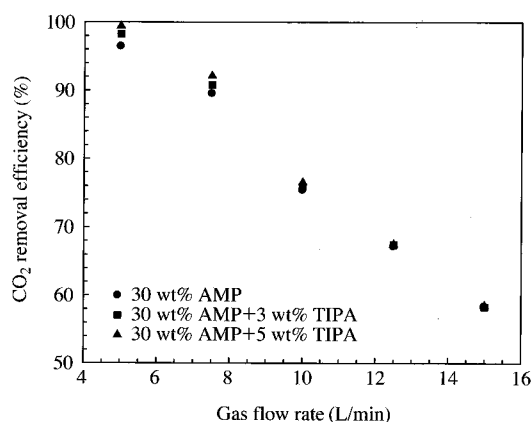


Fig. 6. Effect of gas flow rate on CO_2 removal efficiencies with adding TIPA into aqueous AMP solution.

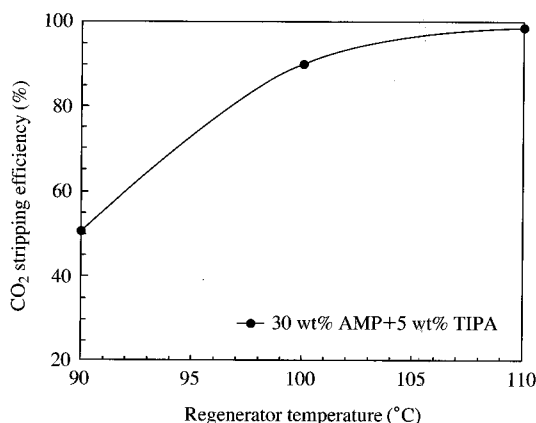


Fig. 7. Effect of regenerator temperature on CO_2 stripping efficiencies using aqueous 30 wt% AMP+5 wt% TIPA solution.

40°C, 가스유량 7.5 L/min, 액순환량 90 mL/min, CO₂ 주입 농도 12 vol.%에서 재생온도를 90, 100, 110°C로 변화시키면서 실험을 수행하였다. 그럼 7은 재생온도에 따른 탈거효율을 나타낸 것으로, 탈거효율은 재생탑에서 배출되는 CO₂의 양을 흡수탑에서 흡수된 CO₂ 양과의 비로써 나타내었다. 그럼에서 보는 바와 같이 30 wt.% AMP+5 wt.% TIPA의 CO₂ 탈거율은 90°C에서 50.8%를 보이다가 온도 증가에 따라 급격히 증가하여 100에서 90.1%, 110°C에서는 98.7%로 높은 탈거율을 나타내었다. 이는 재생탑 온도의 증가에 따라 반응식(1)과 (11)에서의 가역반응속도도 증가하여 CO₂의 탈거를 증가시키게 되며(Rebolledo-Libreros and Trejo, 2004), CO₂를 탈거한 흡수용액이 흡수탑에서 CO₂를 재흡수하는 양이 증가함에 따라 재생효율이 증가하는 것으로 판단된다. AMP에 TIPA를 첨가한 흡수제의 경우 AMP 단일 흡수제와 비교하여 낮은 온도에서는 탈거효율이 떨어지지만 110°C에서는 98% 이상의 높은 탈거효율을 나타내므로 실공정에서도 연속적인 사용이 가능할 것으로 판단된다.

5. 결 론

실험실 규모의 흡수 및 재생탑에서 기존의 단일 흡수제 AMP와 AMP에 AEPD 및 TIPA를 첨가한 혼합흡수제를 이용하여 CO₂ 제거 특성을 살펴본 결과 다음과 같은 결론을 얻을 수 있었다.

첫째, AMP에 AEPD 및 TIPA를 첨가하여 CO₂ 제거효율을 살펴본 결과, AEPD는 1차 아민으로 CO₂ 와의 반응성이 높아 초기에는 TIPA 첨가시 보다 높은 CO₂ 제거효율을 유지하나, 시간이 지나 60분 경과 후에는 반응성이 낮은 TIPA 첨가시의 제거효율이 더 높은 것으로 나타났다. 아울러, 높은 CO₂ 제거효율을 유지하는 운전시간 동안의 CO₂ 흡수량을 비교한 결과, TIPA 3, 5 wt.% 첨가시는 1.66, 1.70 kg-CO₂/kg-absorbent로 AEPD 첨가시 1.63, 1.65 kg-CO₂/kg-absorbent 보다 높았다. 따라서, 두 흡수제 중 흡수/재생 연속공정에서 장기간 안정적으로 AMP의 성능을 향상시킬 수 있는 첨가제는 TIPA인 것으로 판단된다.

둘째, 연속공정에서 장시간 운전에 유리할 것으로

판단된 TIPA를 AMP와 혼합하였을 때의 영향을 살펴본 결과, TIPA 혼합에 따라 AMP 단일흡수제에 비하여 CO₂ 흡수량은 8.2~15.2%, 제거효율은 3.2~6.5% 감소하였다. 따라서, AMP에 TIPA를 혼합한 흡수제는 단일 흡수제 AMP의 반응성을 향상시키지 못하므로 혼합비의 개념보다는 첨가비의 개념으로서의 흡수제로 사용하는 것이 효과적일 것으로 판단된다.

셋째, 가스 유량에 따른 영향을 살펴본 결과, TIPA는 CO₂의 반응이 느리므로 가스 유량이 12.5 L/min 이상에서는 CO₂와의 반응시간이 짧아 AMP의 CO₂ 제거효율 향상이 매우 낮으므로 가스 유량을 7.5 L/min 이하로 유지하는 것이 적절하다. 또한, 재생탑의 온도 변화(90~110°C)에 따른 CO₂ 탈거효율을 살펴본 결과, 30 wt.% AMP+5wt.% TIPA 수용액은 110°C에서는 98% 이상의 높은 탈거효율을 나타내므로 실공정에서도 연속적인 사용이 가능할 것으로 판단되며, 재생탑 조작온도는 110°C로 유지하는 것이 필요하다.

감사의 글

본 연구는 에너지관리공단의 에너지·자원기술개발사업(2006-C-CD11-P-03) 및 2007년도 두뇌한국 21사업에 의하여 지원되었습니다.

참 고 문 헌

- 심재구, 김준한, 장경룡, 엄희문(2003) Pilot Plant를 이용한 화력발전소 배기ガ스 중 CO₂와 MEA의 흡수 특성, 대한환경공학회지, 25(12), 1557-1563.
- 엄희문(2003) 화력발전소에서 CO₂의 분리회수 및 전환기술의 Demo Plant 적용연구, 산업자원부, 41 pp.
- 조승현, 김석철, Dellink Rob, 장현정, 전해원(2003) 기후변화 영향분석모델: 환경편익을 고려한 온실가스 저감에 따른 경제성 분석, 한국환경정책·평가연구원, 134 pp.
- 최원준, 이재정, 정종현, 유정석, 문길호, 오광중(2004) 첨가제에 따른 혼합흡수제를 이용한 CO₂/H₂S의 흡수 및 재생, 대한환경공학회지, 26(5), 536-542.
- 최원준, 조기철, 오광중(2005) 흡수/재생 연속공정에서 AMP+HMDA를 이용한 이산화탄소의 제거, 한국대기

- 환경학회지, 21(5), 507-513.
- CDRS (2005) 더위지는 지구 그 원인과 대책, 이산화탄소저감 및 처리기술개발사업단.
- Chauhan, R.K., S.J. Yoon, H. Lee, J.H. Yoon, J.G. Shim, G.C. Song, and H.M. Eum (2003) Solubilities of carbon dioxide in aqueous solutions of triisopropanolamine, *Fluid Phase Equilibria*, 208, 239-245.
- Daneshvar, N., M.T. Zaafarani Moattar, M. Abedinzadegan Abdi, and S. Aber (2004) Carbon dioxide equilibrium absorption in the multi-component systems of $\text{CO}_2 + \text{TIPA} + \text{MEA} + \text{H}_2\text{O}$, $\text{CO}_2 + \text{TIPA} + \text{Pz} + \text{H}_2\text{O}$ and $\text{CO}_2 + \text{TIPA} + \text{H}_2\text{O}$ at low CO_2 partial pressures: experimental solubility data, corrosion study and modeling with artificial neural network, *Separation and Purification Technology*, 37, 135-147.
- Mandal, B.P., M. Kundu, N.U. Padhiyar, and S.S. Bandyopadhyay (2004) Physical solubility and diffusivity of N_2O and CO_2 into aqueous solutions of (2-amino-2-methyl-1-propanol+diethanolamine) and (*N*-methyl diethanolamine+diethanolamine), *J. Chem. Eng. Data*, 49, 264-270.
- Park, J.Y., S.J. Yoon, H. Lee, J.H. Yoon, J.G. Shim, J.K. Lee, B.Y. Min, H.M. Eum, and M.C. Kang (2002) Solubility of carbon dioxide in aqueous solutions of 2-amino-2-ethyl-1,3-propanediol, *Fluid Phase Equilibria*, 202, 359-366.
- Rebolledo-Libreros, M.E. and A. Trejo (2004) Gas solubility of CO_2 in aqueous solutions of *N*-methyl diethanolamine and diethanolamine with 2-amino-2-methyl-1-propanol, *Fluid Phase Equilibria*, 218, 261-267.
- Saha, A.K. and S.S. Bandyopadhyay (1995) Kinetics of absorption of CO_2 into aqueous solutions of 2-amino-2-methyl-1-propanol, *Chem. Eng. Sci.*, 50(22), 3587-3598.
- Sun, W.C., C.B. Yong, and M.H. Li (2005) Kinetics of the absorption carbon dioxide into mixed aqueous solutions of 2-amino-2-methyl-1-propanol and piperazine, *Chem. Eng. Sci.*, 60, 503-516.
- UNFCCC (1997) Kyoto protocol to the United Nations Framework Convention on Climate Change, FCCC/CP/1997/L.7/Add.1, Bonn.
- Xiao, J., C.W. Li, and M.H. Li (2000) Kinetics of absorption of carbon dioxide into aqueous solutions of 2-amino-2-methyl-1-propanol+monoethanolamine, *Chem. Eng. Sci.*, 55, 161-175.
- Xu, S., Y.W. Wang, F.D. Otto, and A.E. Mather (1996) Kinetics of the reaction of carbon dioxide with 2-amino-2-methyl-1-propanol solutions, *Chem. Eng. Sci.*, 51(6), 841-850.
- Yeh, J.T., K.P. Resnik, K. Rygle, and H.W. Pennline (2005) Semi-batch absorption and regeneration studies for CO_2 capture by aqueous ammonia, *Fuel Proce. Tech.*, 86, 1533-1546.
- Yu, W.C., G. Astarita, and D.W. Savage (1985) Kinetics of carbon dioxide absorption in solutions of methyl-diethanolamine, *Chem. Eng. Sci.*, 40(8), 1585-1590.